

Академия наук СССР
Дальневосточный научный центр
Тихоокеанский океанологический институт

Отчет о геологических исследованиях в 34 рейсе
НИС «Первенец». Владивосток: ТОИ ДВНЦ АН СССР

Владивосток
1980

Отчет о геологических исследованиях в 34 рейсе НИС»Первенец». Владивосток:
ТОИ ДВНЦ АН СССР, 1980. 139 с.

Возвышенность представляет собой две горы основания которых сились образуя единый цоколь вытянутый в меридианальном направлении. Две вершины с установленными глубинами 2 550-2510 м венчают северную и южную части возвышенности. Уклон наиболее крутого западного склона достигает 25° - восточного - 20° . Северный и южный склоны, остались слабоизученными - не было прослежено замыкание структуры, но, по-видимому, они более пологие. Максимальная глубина - 3 560 м встречаенная в южной части полигона.

К северо-востоку от основной возвышенности обнаружено небольшое вытянутое на северо-запад поднятие дна с минимальной глубиной 3 350 м отделенное от возвышенности Тарасова долиной с максимальной установленной глубиной 3 540 м.

3.5. Полигон 33-В (приложение 10) находится в пределах уступа отделяющего впадину Татарского пролива от Центральной глубоководной котловины Японского моря, частично перекрываая северную часть полигона 33 изученного в 34 рейсе НИС "Первенца" и наращивая его к северу. Он охватывает южную часть возвышенности Алпатова и северную часть Центрального горста (мorfоструктурные элементы названные И. И. Берсеньевым автором отчета по 34 рейсу). Промерные работы здесь ставились с целью прослеживания на север крутого обрыва ограничивающего запада возвышенность Алпатова, однако нашими работниками не было установлено наличие этого обрыва и вообще мест удобных для драгирования в пределах этой возвышенности, что и привело к сокращению первоначально планируемых объемов работ.

Изученный нами полигон имеет площадь 500 км^2 . Координаты его центра: $44^{\circ}15' \text{ с.ш.}$ и $137^{\circ}35' \text{ в.д.}$ В пределах полигона закартировано северное продолжение хребта возвышенности Алпатова, Центрального горста и ограничивающих их с востока и запада глубоко врезанные асимметрические долины.

Севернее широты $44^{\circ}15'$ хребет заметно выполаживается и посте-

пенно переходит в пологое дно котлована. Долина примыкающая к хребту с востока также к северу постепенно выполаживается становится более мелкой (от 3000 до 2500 м) и плохо выраженной в рельефе. Профиль долины V образный ~~асимметричный~~^с с крутым западным и более пологим левым бортом.

Западная долина в пределах полигона выполаживается и уже на глубинах 2400-2300 м она почти не выражается в рельефе.

3.6. Полигон 33-Г (приложение II) расположен в северной части Центральной глубоководной котловины на границе с уступом отделяющий ее от впадины Татарского пролива ^{также как и} предыдущий полигон нарашивается к ру батиметрическую съемку 34 рейса НИС "Первенец". Площадь полигона 940 км^2 . Его центр расположен в точке с координатами $43^{\circ}50' \text{ с.ш.}$ и $137^{\circ}35' \text{ в.д.}$

В пределах полигона находятся две вытянутые в субмеридианальном направлении вулканические постройки разделенные долиной ограниченной изобатой 3500 м, которая является также граничной для возвышающейся над ней вулканами. Западный вулкан имеет размеры $20 \times 10 \text{ км}$ и в его пределах наблюдаются две вершины с отметками 3100 м. Слоны их крутые, иногда в южной части вулкана уклон достигает 40° , а в северной максимальный уклон редко превышает 14° . Восточный вулкан оконтуривается изобатой 3300 м и имеет размеры близкие описанным для первой возвышенности, но форма его более вытянутая и он имеет монотрехшинное строение, крутизна склонов достигает $30-40^{\circ}$ при средней 25° . Западный склон более крутой.

Долина протянувшаяся между вулканами в меридиональном направлении имеет переменную ширину - в устье около 3,6 км, в верхней части 4-5 км и полога углубляется с севера на юг от глубины 3300 м верховье до 3640 м в котловине.

К северо-западу от северной оконечности восточного вулкана по направлению к центральному горсту отмечается очень пологое и слабое,

за участке, длиной 28км. На севере горст имеет ширину по изобате 2800м - 20км. Привершинная часть горста соответствует плато, лежащему на глубине 2500-2700м. Его ровная поверхность слегка наклонена на юго-восток. На западе край плато проходит по изобате 2550м, на юго-востоке - по изобате 2700м. Ширина плато между этими изобатами на севере полигона 12-13км. Поверхность плато ровная, со слабо выраженными куполовидными увалами относительной высотой до 50м. На юге плато заканчивается куполовидной горой с отмеченной промежуточной минимальной глубиной 2150м. Слоны горы в их верхней части имеют крутизну 12-15°. Западный склон горста в средней части полигона имеет крутизну 5-12°, а в северной - 2-3°, восточный склон более крутой (15-20°), здесь обнаружен единственный обрыв высотой 70м (ст.2028). На юге плато оборвано серповидным в плане обрывом высотой 400-500м, опирающимся на глубине 3000м на абиссальную равнину. От указанного места на юго-запад, в направлении вулканических гор, в пределах центральной котловины прослеживается очень пологий увал, плавно понижаящийся на юго-запад. Глубины дна на гребне увала 3100-3300м.

4.7.9. Восточный грабен отделяет одноименный горст от возвышенности Витязя. По карте 61002 этот грабен имеет ширину по дну около 15км и длину до 50км. На полигоне (приложение 9) подсечен лишь северо-западный край грабена, лежащий на глубине 3100м.

4.8. Полигон 34 (возвышенность Богорова, приложение 10) расположен в северной части Центральной котловины. Он ограничен параллелями 42°22' - 42°52' и меридианами 136°10' - 136°35', площадь полигона 740кв. км. На полигоне проводились геологические исследования под руководством Ю.Б.Евланова, установившие здесь неогеновые базальтоиды и осадочные отложения. Целью работ в 34 рейсе являлось драгирование подошвы возвышенности, где предполагается наличие пород докайнозойского фундамента. На полигоне пройдено 10 промерных

галсов широтного направления через 3 мили, 8 коротких переходных галсов и 4 галса диагональных направлений. Обсервация производилась по системе "Лоран". Проведенные работы позволили составить батиметрическую карту рабочего масштаба 1:50000.

Возвышенность Богорова состоит из двух хребтов меридионального направления: Южного и Северного.

4.8.1. Южный хребет обследован от параллели $42^{\circ}22'$ на юге, до его окончания на широте $42^{\circ}45'$ на протяжении 41 км. Хребет на большей части периметра возвышается над абиссальной равниной, лежащей на глубине 3600-3650 м. Минимальная глубина на гребне хребта, отмеченная при промерах, 1285 м, относительное превышение достигает 2365 м. На остром гребне хребта отмечены три вершины. Наиболее высокая из них лежит на широте $42^{\circ}35'$, средняя вершина с отметкой около 1800 м находится на широте $42^{\circ}29'$ и южная, с глубиной около 2400 м, у южной рамки полигона.

Северный склон гребня хребта от отметки 1285 м до изобаты 2500 м имеет крутизну около 10° , затем следует обрыв высотой до 100 м. Ниже гребень понижается под углом $5-7^{\circ}$. В интервале глубин 3000-3200 м расположена выровненная площадка шириной до 4 км, ограниченная с северо-запада обрывом высотой 120-140 м, ниже переходящим в склон крутизной $10-15^{\circ}$, опирающийся на глубине 3600 м на абиссальную равнину.

Западный склон хребта у отметки 1285 м до глубины 2500 м имеет крутизну $15-20^{\circ}$, ниже до глубины 3500 м следует очень крутой (более 30°) склон или обрывы. На глубине 3500 м расположена террасовидная площадка шириной до 1-1,5 км, окаймляющая подошву хребта с запада. Она ограничена обрывом высотой 170-200 м, резко оканчивающимся на абиссали при глубине 3650 м. Относительная высота очень крутого обрывистого склона 500-700 до 1120 м. К югу от отметки 1285 м в верхней части западного склона прослеживается обрыв, высотой 140-350 м.

Восточный склон хребта по морфологии мало отличается от западного. В его северо-восточной части, ниже изобаты 2500м, до глубины 3000м простирался склон со средней крутизной 5-10°. Эта часть склона имеет бугристый мезорельеф, указывающий на широкое развитие оползней. Ниже, вероятно, располагается "терраса", аналогичная описанной для западного склона, поскольку галсом I8 пересечен обрыв высотой 120м в интервале глубин 3530-3650м. Ширина "террасы" по параллели 42°35' - 5км.

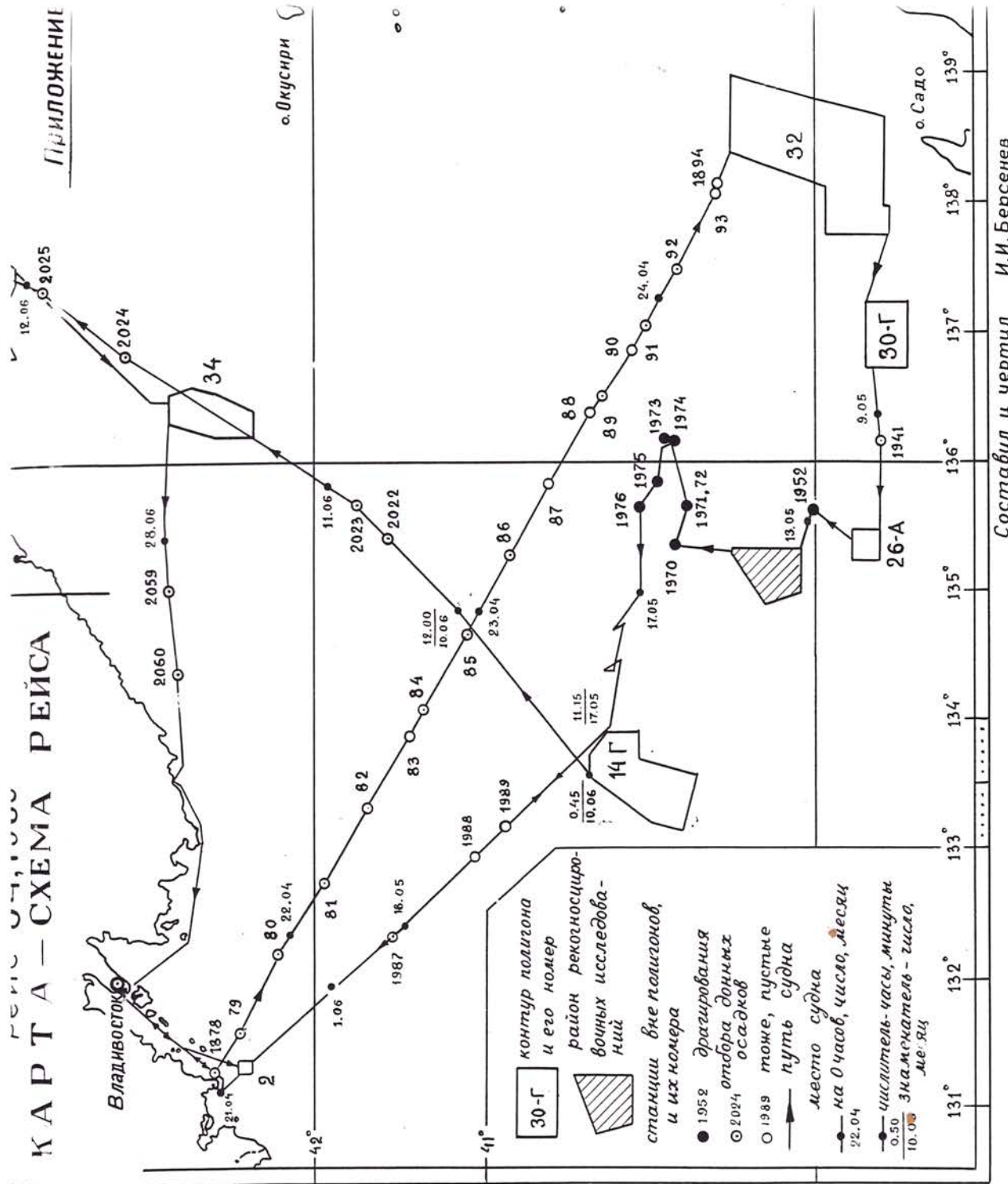
4.8.2. Северный хребет был обследован на участке длиной 20км в его юго-западной части, между параллелями 42°41'-42°52'. В отличие от Южного хребта его привершинная часть имеет относительно выровненную поверхность, шириной до 5км. Над ней возвышаются две обнаруженные вершины. На северной из них отмечена минимальная глубина 2070м. Бровка платообразной привершинной поверхности лежит на глубине 2500м. Ниже следуют крутые (20-25°) склоны, чередующиеся с обрывами высотой до 410м. На западном склоне в интервале глубин 2900 (3000)-3200(3300)м располагается выполненный участок с крутизной 7-12°, сливавшийся на юго-западе с аналогичной поверхностью у северного окончания Южного хребта. Абиссальная равнина у западного подножья хребта лежит на глубине 3610м, у восточного - на 3660м.

Изложенные данные подтверждают предположение о возможности существования докайнозойского фундамента на хребте Богорова. Им может быть сложен пьедестал, расположенный на глубинах 3450-3650м. К сожалению, общая длина имевшихся на "Первенце" тросов не позволила произвести драгирование указанного обрыва.

Приведенные в данном отчете материалы, в совокупности с хранившимися в архиве временными графиками и эхолентами позволяет в дальнейшем проводить более детальный морфоструктурный анализ обследованных полигонов.

КАРТА - СХЕМА РЕЙСА

ПРИЛОЖЕНИЯ

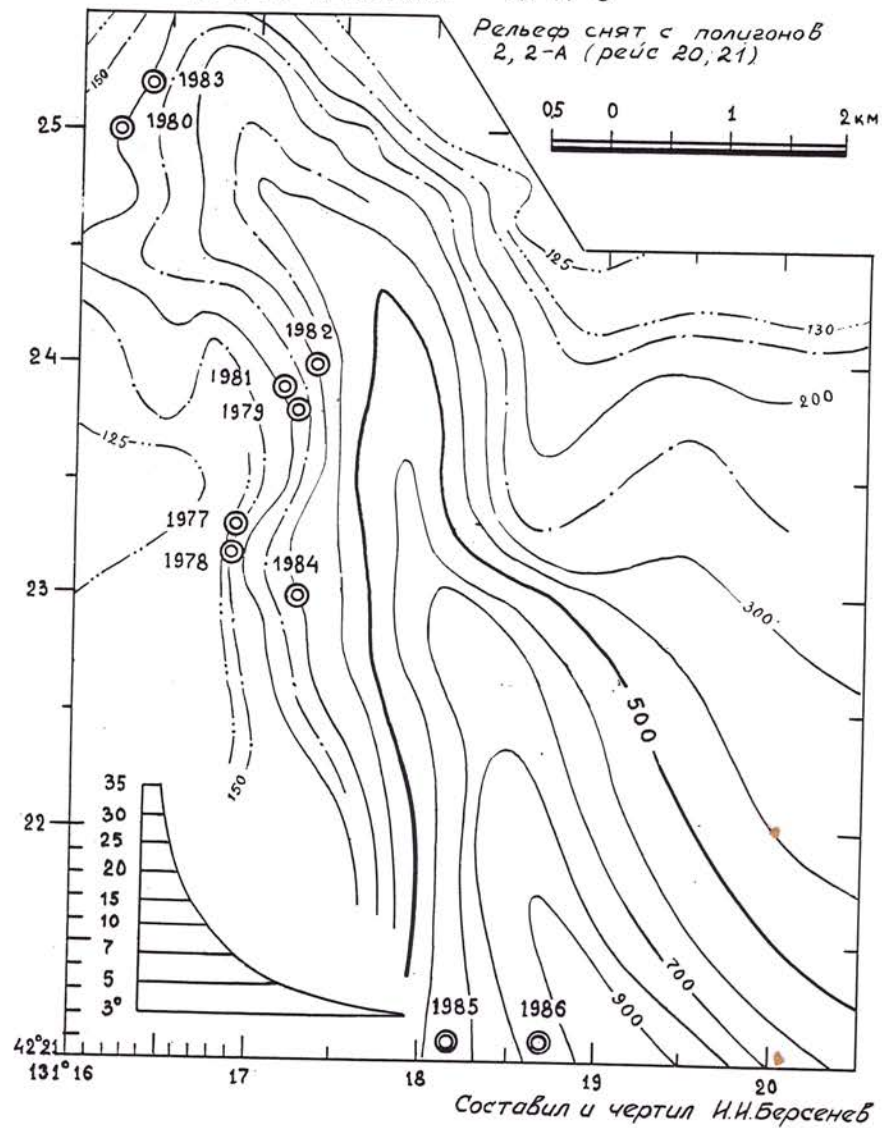


Составил и проверил И.И. Борисенок

— 6 —

Приложение 11

НИС «ПЕРВЕНЕЦ»
РЕЙС 34, 1980 год
ПОЛИГОН 2, ДОЛINA ГАМОВА
КАРТА СТАНЦИЙ ПГП-3



**Каталог станий драгирования и отбора проб пород
до четырехчного возраста**

№ п/п	Местанция в здании. Прибор (кроме драг)	Интер- вал драгир. (м) Глуби- на	Ширина (сев.) Долгота (вост.)	Привязка к рельсей	Краткая характеристика пород в скобках:	
					С	К из коренных обнажений из свалов
1	2	3	4	5	6	

ПОЛГОН 32. Возвышенность Садю

1. I895 420 39°10,8
Чорпак 138°33,0 Северный склон
бани Яхико Базальт оливий, темно-серый, плотный,
структуря породовая - в основной тонко-
зернистой массе вкрапленники платиоклаза
и оливин (С). Галька и гравий базальта
и туфа среднего состава.
2. I905 400- 39°06,5
500 138°35,5 Круговой склон
бани Яхико Базальт (С), галька, гравий, щебенка
3. I906 150- 38°57,4
160 138°40,0 Банка Кама вер-
шинное плато Слабоизагенированные альвролиты, алевропле-
литы (С), кремниевые конкреции

	1	2	3	4	5	6	7	8	9
4.	I907	550-650	$38^{\circ}57,0$	Крутой юго-восточ- ный склон баниКама	Алевролит окременные с поверхностью (C) Конкреции				
5.	I908	500-600	$39^{\circ}04,9$	Нижняя часть восточ- ного склона банки едов, грубообломистые (K), конкреции яжико	Диатоматовые алевролиты, с ходами ело-				
6.	I909	600-750	$39^{\circ}09,5$		Конкреции берита (C)				
			$138^{\circ}35,6$						
7.	I910	750-850	$39^{\circ}01,8$		Галька базальта, обломки ПСМЗЕ, счи- ническая конкреция (?)				
			$138^{\circ}34,5$						
8.	I911	450-600	$38^{\circ}53,9$	Юго-восточный склон баниКама	Единичная конкреция (?) алевролито-пелита слабодрагенитизированная с углистыми ос- татками (C). Галька базальтовая, конку- рии берита (C)				
			$138^{\circ}37,8$						
9.	I912	400-600	$38^{\circ}51,0$		Алевролит слабодрагенитизированный (C) галька кремлистых пород,				
			$138^{\circ}35,0$						
10.	I913	500-600	$38^{\circ}44,7$	Пижинская часть восточ- ного склона банки	<u>не</u> Алевролит плотный, зеленовато-серый (C) конкреции				
			$138^{\circ}43,7$						
					Мукосе				

II.	1914	500-600	$38^{\circ}41,4$ $138^{\circ}13,7$	Нижняя часть восточно-го склона банки Косидзии	Алевролит слабодиагенезированый. Галька кварцевого порфира.
12.	1915	600-800	$38^{\circ}44,3$ $138^{\circ}19,0$	то же	Алевролит слабодиагенезированый, галька кремнистых пород, конкреции барита(С)
13.	1916	700-850	$38^{\circ}44,0$ $138^{\circ}23,3$	Нижняя часть западного склона банки Хётан	Алевролит слабодиагенезированый, галька кварцевого порфира
14.	1917	300-400	$38^{\circ}45,8$ $138^{\circ}37,5$	Склон долины, рессека-ющий банку Мункоса	Далуны, галька кварцевых пород
15.	1918	600-700	$39^{\circ}20,6$ $138^{\circ}35,5$	Средняя часть южного склона безымянной воз-вышинности	Галька альбозита(?), дашита(?), P_3-
16.	1919	500-650	$39^{\circ}15,3$ $138^{\circ}54,8$	Юго-восточный склон банки Могами	Алевролит и дашит
17.	1920	850-II00	$38^{\circ}58,8$ $138^{\circ}22,0$	Нижняя часть юго-восточного склона бывшей-ной возвышенности	Песчаник крупнозернистый, темно-серый; песчаник с белой ракушей (К), алевролит слабодиагенезированый (С), окременная дровесина(?), кварцевый порфир (С), галька иглеборита.

		2	1	3	1	4	1	5	1	6
1921	950-1050	38°52,0 138°08,5	Северо-восточный склон безземной возвышен.							Драга пустая
1922	900-1050	38°51,0 138°08,0		то же						Драга пустая
1923	1100-1400	38°43,9 138°03,3	Южный склон безземной розвышенности							Единичная галька базальта
			ПОЛИГОН 30-Г. Банка Жакусан, западная часть							
1924	600-300	38°33,8 137°06,2	Северо-восточный склон плато							Щебенка и галька ороговиков алевролитов и базальтов
1925	350-380	38°33,4 137°02,5	Кекур на плато							Драга пустая
1926	290-300	38°30,5 137°05,0		то же						Базальты темно-серые до серой структуры (К), с брекчиями базальтов (К), Г
1927	290-300	38°31,6 137°04,6		то же						Базальты черные, плотные, вкрапленниками плагиокла- зитом и розовато-серым (С) рыхлый алевролит (С), галь-

1928	430-450	$38^{\circ}34,0$ I37°00,0	Кекуры в северо-запад- ной части плато	Базальт темно-серый до черного сивый, с вкраплениками оливий- платиаклаза. Базальт пористый. Основного состава, зеленовато- пористый. Крупная галька туфой ника(?) и мелкая галька разли- состава.
1929	1800-2000	$38^{\circ}34,7$ I36°51,8	Нижняя часть северо-западного склона банки	Драга пустая
1930	410-450	$38^{\circ}29,8$ I36°52,1	Восточная часть хребта отходящего на юг от плато, гребень хребта	Базальт черный, крепкий, массив- ный среднезернистый, светло- до розового, с роговой обманкой посечник среднезернистый, серый- ный, слабослоистый(?) Алевроли- говикованный(С), порфириты.
1931	410-450	$38^{\circ}29,5$ I36°58,4	то же	Базальт массивный, черный(К). бурые, розово-черные(С)
1932	390-410	$38^{\circ}28,8$ I36°57,2	Куполообразная вершина на хребте	Туфы светлые, с поверхности зел- еные, пегрелие(К). Галька этих туфов.

			1	2	3	4	5
1944	1800-2000	$38^{\circ} 92,1$ $135^{\circ} 23,2$	Привершинная часть северо-восточного склона вулкана	Туф измененный(К), диатомиты и алевролиты(С). Единичный обломкового туфа(С).	желто-серый, слаболитицирован спикулами губок и железо-марганицой(С). Алевролитовый песчаник облицованный(С). Пемза светло-		
1945	1600-1800	$38^{\circ} 40,7$ $135^{\circ} 19,8$	Привершинная часть южного склона вулкана	Железо-марганицевые корки(К), окремнистых губок, пропитанных / риалом. Единичный обломок дресалевролита(С). Обломок известняка конгломерата с галькой кислых и др. пород, некрекции, бурые			
1946	1550-1700	$38^{\circ} 39,8$ $135^{\circ} 20,9$	Привершинная часть южного склона вулкана	счет окислов железа и марганицы алевролиты, сильно изменен			
1947	1200-1350	$38^{\circ} 40,6$ $135^{\circ} 21,5$	Вершина вулкана	Туф базальтов, искристые, по шлиноватые(К). Железо-марганица Галька разной степени окатанности			
				ного состава.			

1 3 1 4 1
2390 38°42,0 Терраса у подножья вул-
135°27,5 кана

Обломок диатомового алевролита

ПОЛЛООН 28. Хребет Южного Ямато (рекогносцировочные исследования)

1948 1550-1750 39°02,5 При вершинная часть изолиро-
1952 1950 135°37,5 ванной горы близ подножья
хребта Южного Ямато

Песчаник средне- и крупнозер-

темно-серый, крепкий, порист
гравием(С). Диатомовый алевролит
слабодиагенезированный, грубо-
стий с редкой галькой песчаника.

Слабоокатанная галька песчаника
андезито-дациты зеленовато-
плотные, крепкие, массивные
Галька песчаников, кварца.

Туфы базальтов серых, зелен
серых, плотных, крепких(К).
Галька песчаников.
Пемза.

1953 290 39°21,7 Мелкие кекуры на плато
135°00,8

то же
39°16,5
134°57,8

Туфы базальтов серых, зелен
серых, плотных, крепких(К).
Галька песчаников.

1954 305-310

39°14,0 Кекуры у юго-восточной
брюшки плато

1955 290-300

39°14,0 Кекуры у юго-восточной
брюшки плато

1956

II50-II350 39°08,8 Юго-восточный склон
I35°02,6 Южного Ямато

драга пустая

1957

I700-2000 39°09,9 Средняя часть южного
I35°16,0 склона Юж. Ямато

Алевролиты рассланчованные, зелено-кремкие(K). Песчаники томлю-серые, крепкие, мелкозернистые, сортовой песчаники серые, слабослоистые(K). Серебристо-серые, разлозеристые, аркогравиев(C). Туфы основного состава туф розовато-серые с вкраплениками плагиоклаза, роговой обманки(C). Когалька представлена гранитами, пессимент - разлозеристой песчаник. Серые крупнозернистых гранитов.

1958 800-I050 39°12,3 Верхняя часть южного склона Юж. Ямато

Анфезиты зеленовато-серые(K). База плотные, породоразрушающие(K). Кварцевые светлые, различных оттенков(K). Эффузивного состава, выветрелые(C). Галька степени окатанности и различного с

1959^T 1860 39°09,5 Средняя часть южного склона Юж. Ямато

Галька серого полимиктового песчаника базальта.

1967

315 39°26,5 Кекур на плато Юж. Ямато
135°13,5 (центральная часть)

Песчаники серые, полимиктовые. ЦВ
не очень крепкие, грубослоистые,
нозернистые(К). Галька разной ст-
тности песчаников и базальтов.

1968

380-390 39°31,5 Кекур у северного края
135°16,5 плато

Базальт черный, порфировидный(К)
ничная щебенка выветрелого песча-

1969
? 348 (II-3) 39°25,4 Северная часть плато
135°12,3

Песчаник серый, крепкий, полими-
единичный щебень базальта(С), е-
щебень туфа липарита(?С).

ПОЛЛОН 29. Хребет Сев. Ямато. Рекогносцировочные исследования

1970

950-II150 39°52,2 Юго-западный склон плато
135°22,0 (отметки 1010-640 м)

Гранит выветрелый(С), щебень и
выветрелых эфузивов кислого со-
Галька гранита и базальта.

1971

950-I000 39°46,3 Юго-восточный склон пла-
135°38,3 тообразной возвышенности

Песчаники буровато-серые, сред-
нистые, тонкослоистые, полимилку-
Галька хорошей и плохой окатан-
базальтов, гранита, пемзы.

1972

II00-II250 39°47,0 то же
135°39,5

Песчаники темно-серые до черных
и стые(С). Галька песчаников, г-
порфиров.

1973
1270-1300 $39^{\circ}54,4$ Северо-западный склон
 $136^{\circ}13,2$ хребта (на карте 61017
не показан)

Туфы черные, крепкие. Обломки пре-
ни черными базальтоидами, светло-
песчаниками(?) (К). Менее прочные
ричнево-серые; светло-коричневые
измененные(С). Галька средней ока-
различного состава.

1974
1300-1500 $39^{\circ}50,0$ то же, юго-западный
 $136^{\circ}12,6$ склон

Песчанистый алевролит слабо лити-
ний, с мелкой галькой, желтовато-
Песчанистый алевролит, плотный,
от светло-серого до зеленого. Еа
но выветрелый(С). Песчанистый из
ты(?) алевролит(С). Песчаник пло-
серый массивный(С). Гальчиная щес-
та (граптолитита?)(С). Галька ре-
зальтов, песчаников.

1975
900-1100 $39^{\circ}58,5$ Верхняя часть кругого
 $135^{\circ}50,0$ склона, ограждающего
плато с юго-востока

Филлиты, мелко и среднезернистые
рассланцеванные(К). Аргиллиты и
светло-зеленые и серо-зеленные,
сланцеватые(К). Галька хорошо од-
личного состава.

1989 660-700 40°04,2' Пологий юго-восточный склон
135°40,1' и вершина небольшой сопки
на плато.
1976

ПОЛГОН 14-Е.

1990 1500-1600 40°12,1'
133°51,7'

Юго-восточный склон хребта
Одна крупная галька (10 см)
Кислого состава. Мелкие об-
разования.

то же
40°12,3'
133°52,0'
56,7

Хорошо окатанная мелкая ге-
зинов различного состава,
одна крупная галька (10 см)
кислого состава. Мелкие об-
разования.

Зеленые, слабопористые, вы-
сокоглинистые (C).
Обломок оротовикованный с
мелкими зеленоватыми крем-
нишками (C).
Мелкая, хорошо окатанная ге-
зинов, кварца, обломок 1

19 92

40°12,6' Северный склон возвышен-
133°51,9' ности Сев. Ямато

Мелкая и средняя хорошо окатан-
ка ёбукузивных пород, единично
гранитоидов, тубогравелитов,
пемзы.

19 93

40°12,7'
133°51,1'

то же

Пекинские желтовато-зеленые
литья(?) (С) $V_{ср} = 1739 \text{ м}^3/\text{с}$.
окатанная галька ёбукузивов,
обломки пемзы.

19 94

40°12,9'
133°49,8'

то же

Хорошо окатанная галька ёбуку-
личного состава, кварца, еще
галька гранитоидов, обломки
желтовато-зеленые тубо-зелевые
часть обломков обогашена пем-
териалом, как в виде прослоев

19 95 1600-Т740 40°10,7' Северо-западный склон
133°45,3' возвышенности Сев. Ямато

виде обломков до 10 см, некре-
обр. 1995 - V = 1760 м³/с
" 1995-I - V = 1509
" 1995-II - V = 1561
" 1995-2 - V = 1701
" 1995-3 - V = 1657
" 1995-3а- V = 1604
" 1995-3б- V = 1561
" 1995-3в- V = 1612

обр.	1995-3г -	v	= 1614
"-	1995-3д -	v	= 1611
"-	1995-3е -	v	= 1667
"-	1995-3ж -	v	= 1720
"-	1995 - 4-	v	= 1531
"-	1995 - 5-	v	= 2334 (пмза)
"-	1995 - 6-	v	\neq 1652
Средняя и крупная хорошо окатанная роговиков, эфузивов, единичная нистых пород, диорита, единичная галька разgneйсованного гранитои			

Лейкократовые блотитовые граниты
блотитовые граниты, серые блотито-
граниты с розовым микроклином. 1
нижний обломок жильного(?) микрокл

обр. 1996 - v = 4927 м/с
" - 1996-I - v = 5007 м/с

Единичный обломок зеленовато-се-
ралана (?) (C)
обр. 1996-4 - v = 4250 м/с

Единичная галька эфузивов, обр.

1996 2000-2200 $40^{\circ}07,4'$
 $133^{\circ}34,5'$
Сев. Ямато

			Мелкие обломки ороговикованных	
			обр. 1997 - V = 3480 м/с	
			то же	
			Андрезито-базальты выветрелые,	
1997	1850-1950	40°07,9'	серые, слабопористые, мелкозернистые, темно-серые, плотные,	
		133°35,4'	слабопятнистые(С). Кислые, зеленые, выветрелые эфузивы, плотные; последние с выраженным	
1998	1100-1250	39°52,0'	и возможно, амфибола(С).	
		133°18,1'	обр. 1998-4 - V = 4116 м/с	
			" - 1998-4а- V = 4279	
			" - 1998-4б- V = 3227	
			" - 1998-4в- V = 3948	
			Фосфориты, биссектарные с кремнием	
			обр. 1998-6 - V = 4423 м/с	
			Железо-магнезиевые конкреции(С)	
			породы низкого генезиса(С). И	
			и средней окатанности базальто	
			эфузивов.	
1999	1200-1350	39°53,6'	Базальты серые, мелкопористые;	
		133°19,3'	мелкозернистые, плотные и синие	
			красные, слабопористые(С)	

обр. 1999 - V = 4238 м/с
андезито-базальты буровато-серые, п.
мелкозернистые(С)
обр. 1999-2 - V = 5224 м/с
андезиты зеленовато-серые со слабой
тостью, выполненной гипсокислыми
встречается более светлые, шлифчатые
ности(С).

обр. 1999-3 - V = 5618 м/с

кислые эфузивы, светлые, зеленоватые,
шлифчатые, скопления железистых минералов
образуют пятнистую текстуру(С). Если
обломок от склонового базальта. Если
щебень конгломерата с ильезо-марганцом.
Цементом. Галька гнейсов средний,
окатанная средних и кислых эфузивных
викор, кристалл.

базальты пластные, темно-серые, тонк
нистые(С).

обр. 2000 - V = 5710 м/с
—" — 2000 - V = 5728
—" — 2000 - V = 5273
—" — 2000-2 V = 5261

2000 1500-1580 39°54,5 Западный склон "пье-
нистала" возвышенности
Сев. Ямато

2000

**Западный склон вершины вулканической
верхности**

(С) Туфоалевролиты зелено-вато-желтые

нижней мелкой галькой и обломками

обр. 2000-4а $V = 1632 \text{ м/с}$
обр. 2000-4а $V = 1608$
—"— 2000-4б $V = 1542$
—"— 2000-4б $V = 1568$

Фосфоритодержащие породы (С)

обр. 2000-1 $V = 5268 \text{ м/с}$
—"— 2000-1 $V = 5170 \text{ м/с}$

Щебень выветрелых эфузивов (С)
Галька хороший окатаности эфузивного
различного состава, роговых иксов,
толидов

Ил пшотный, желтоватый, с ржавицами
обр. 2001-а $V = 1492 \text{ м/с}$
—"— 2001-б $V = 1494$
—"— 2001-в $V = 1497$

Мелкая единичная угловатая щебень
гранитоидного состава с корочкой
коинкременций

2001 1360-1900 40°04,2'
133°28,4'

Бровка обрыва

			щёсник - зеркала скольжения (к)
			Выветрелые биотитовые гранитоиды
			Единичный щебень выветрелых кислых зинов (с)
			Единичные мелкие обломки желтых тонированных ролитов (с)
		обр. 2002-А	$V = 1627 \text{ м/с}$
			Хорошо окатанный галька эфузивны гранитоидов, роговиков, обломки и Ил слаболитцированный
		обр. 200-Б	$V = 1475$
			Граниты лейкократовые, биотитовые.
			уступа "островно- го" склона Север-
		нога Ямато	обр. 2003 $V = 5344 \text{ м/с}$
			Единичный обломок слаболитцированного апекролита (с)
			Единичная мелкая хорошо окатанная гранитоидов, средних эфузивов, о бломок пемзы, обломки шланок
2003	1600-1700	$39^{\circ}59,5'$ $133^{\circ}23,0'$	Бровка верхнего уступа "островно- го" склона Север-
2004	1200-1300	$39^{\circ}54,4'$ $133^{\circ}21,6'$	Северо-восточное подножье вулканических (?) (с)

Обложки племени
длинного состава, квартитов, 6

2005 1500-1600 39°50,4'
2005 133°17,4' Юго-восточное окончание вулканической
возвышенности

Базальт плотный, тонкозернистый, с мелкими вкраплениками цветных минералов и плагиокла.
обр. 2005 $V = 5720 \text{ м/с}$

Базальты слабопористые, поры
новато-чёрные, чёрные, корич-
невые и коричневые.
Андрезито-базальты коричневые
щёлочные (С).

шлютные (С).

"ВИДЕОПРЕДЫДУЩИЙ СРЕДИСТУ

(?) состава (С)
Фосфорити, фосфорит содержащи
Туфоале звролити бурогвато-жел
тице не пре присе (С)

Туғарғилиты, туғарғилитиң
ниимі пемзы, гальки эфузия
тошоғов и включениими боле е
исаланындык түрбө агрегаттод. И

Песчанистые, слюдистые турфы
некрепкие (§)

-" - 2006-3б V=3665
-" - 2006-3а V=2575

Площадка грavelита с некрепким мелкозернистым песчаником с галькой, цемент несоставимые обломки туфоалевролита (С)
Большое количество гальки базальтоидного гранитоидов, большая часть которых в виде из конгломератов

Полигон № "А"

2026	2550-2600	44°08,5' 137°45,5'	Уступ на бровке Единичная мелкая галька средних и крупных зерен склона	зивов
2027	2600-2730	44°09,4' 137°56,0'	Юго-восточный склон подводной возвышенности	Единичная мелкая галька эфузивов
2028	2600-2700	44°09,5' 137°55,6'	"	Единичные мелкие обломки желтого туфа песчанка (?)

Единичная мелкая галька эфузивов, Р
Единичная щебенка выветренного эфузива
Ил. мелкий, плотный.

2029

1700-1950 44°11'3'' Восточный склон

137°33,8'

Подводной возвы-
шенностии

Песчаник на краю мелководья
калами скользкий, с редкой галь-
вийных пород (К)

обр. 2029-в $V = 2345 \text{ м/с}$

Песчаник мягкоизернистый, некреп-
кой, гравием и песком - кремней
рельях эфузивов (К)

обр. 2029-г $V = 2340 \text{ м/с}$

Древник, грубозернистый песчан-
кий, дресва и песок - эфузивов,
кварца, цемент песчанистый.

обр. 2029-2 $V = 2291 \text{ м/с}$

Пересланение древника, туфов
песчаников, конгломератов некреп-
обр. 2029-з $V = 2326 \text{ м/с}$

-п- 2029-зб $V = 3309$

-п- 2029-зв $V = 2342$

Валуники - представлена скатами
изменных эфузивов и
обр. 2029-10 $V = 4051 \text{ м/с}$

-п- 2029-10а $V = 4044$

-п- 2029-10б $V = 3376$

-п- 2029-10в $V = 3711$

Обр. 2029-10г У = 6129 м/с

-н- 2029-10д У = 5035 " "

Все валуны имеют примазку желтого цвета с дресвой и песком.

Конгломераты - по составу аналогичные кам, с незначительным количеством цемента, дресвы и песка.

Тонкозернистые песчаники (алевролиты слабо диагенезированные (С)

обр. 2029-5 У = 1505 м/с

Туфоалевролиты (?) зелёные, пластичные, литифицированные (С)

обр. 2029-4 У = 1509 м/с

Алевролиты мягкие, зелёные (С)

Один острорукий обломок изменился покрытый гидроокислями железа (С)

Галька различных размеров кислых эффиций вики в, кремнистых пород хороший окат

Полигон 33-А

2030 2300-2400 40°02,5'
137°43,5'

Юго-западный склон, привод-ний возвышени-ности

Андезито-дэцит (дацит?) - зеленовато-да с пятнистой текстурой (К)
обр. 2030 У = 4992 м/с

ности

базальт, красноватый, синевато-серый базальт

синевато-серый пористый базальт (С)

Измененные эфузивы (С)

железо-марганцевые породы в виде корочек

сферолитов (К)

обр. 2030-5 $V_{cr} = 2550 \text{ м/с}$

Туфо диатомита (?) светлые, зеленовато-

$V = 1500 \text{ м/с}$

Алевролиты (?) светло-коричневый слабоцированный, с галькой (С)

$V = 1665 \text{ м/с}$

Галька хордо окатанная эфузивов разного состава, преобладает мелкая – кислых э

Кварцевые диориты (?) мелкозернистые, светло-серые (К)

обр. 2031-1 $V = 2277 \text{ м/с}$
Конгломераты кремниевые сине-зеленые, состоящие из обломков измененных эфузивов, окатанных настепени и сцементированных песчаник цементом (К)

Конгломераты (конглобреции) состоящие из ломков стекла чешного (стекловатых эфузивов) (?) сцементированных туфо (?) – алевролитов (С)

20 ЗI 2500-2700 4001,8'
137033, I'

ни грубо и средне зернистые, зеленоватые, с серым, а редкой мелкой галькой, в средне зернистый песчаник с гравием, зелено-вато-голубым оттенком,

$$U = 2357 \text{ м/с}$$

средне зернистый песчаник крепкий, затым оттенком (С)

Измененные, в различной степени измененные? (С)

Единичная мелкая хорошо окатанная базальтовая, кварцевых породы, тоннелей.

ПОЛЯГОН 33-Б

2032 1700-1900 $\frac{44^005,2'}{137^031,2'}$ Западный склон подводной возвышенности

$$U_{\text{max}} - " = 5417$$

$$U_{\text{min}} - " = 3585$$

Филилы черные, темно-зеленые, зеленые

$$U_{\text{среднее общее}} = 4535 \text{ м/с}$$

шебнистые

Гранит-порфир, вкрашенники предгорозовым полевым шпатом, серым кварцом. 2032-3 У = 5321 м/с

Единичный щебень выветрелых базальтических эфузивов (С)

Галька различных размеров хордовой

5	2033	1830-1870	44°03', 137°34,0'	Южная оровка склона подвод-Единичные обломки крепкого мелкоэзер- ной возвышен- песчаника, дресвяника (С) ности	Выветрелые базальтоиды. Кислые эфузии Глиниче обломки некрепких гравели- грубо и крупнозернистых песчаников
	2034	1700-1800	44°04,3' 137°32,3'	Мго-западный склон подвод- Единичный щебень выше трёх эфузий ной возвышен- тоидов, кварцевого порфира) (С) ности	Фильтры (К) Глиничные обломки туфо (?) а- желтого слаболитицированного с бк щебенки фильтров (С)
5	2035	1500-1670	44°07,5' 137°51,3'	Галька пресимущественно мелкая диори- тоидов, гранитоидов, кварца.	Западная бров- Фильтры (К) ка склона под- Глиничные обломки слабодмагнезииро- водной возвы- злевролитов с щебеникой фильтров (С) шениости Венно кислых эфузиев.

2036	1400-1600	$44^{\circ}09,2'$	Восточная бровка	Филилиты (К)	
		$137^{\circ}34,0'$	склона, подводной	Брекчии - обломки филилитов, с ¹	
		$137^{\circ}34,2'$	воздышности	ванные юелтым песчано-глинистые	
				цементом (К)	
				Глинистая галька кварцевых потоков	
2037	1850-1900	$44^{\circ}11,9'$	Северное окончание	Туфоалевролиты песчанистые, жиг	
		$137^{\circ}34,2'$	подводной возвышенностей	крепкие (С)	
				$V = 1538 \text{ м/с}$	
				Галька кислых эфузивов, порфиритов, роговиков, диоритов (С)	
2038	1800-1900	$44^{\circ}04,7'$	Восточная бровка	Измененные эфузивы, светлые -	
		$135^{\circ}35,3'$	склона подводной	измененные андезиты	
			воздышности	$V = 5796 \text{ м/с}$	
				$V = 5711$	
				$V = 5765$	
				И темные - измененные слабоподзолистые (К)	
				Глинистые обломки эндэзита, биотитовый щебень тонкозернистый	
				(стых?) слабо филилизированный	

Медианные породы на склоне (С)
Галька мелкая и средняя хорошо окат
базальтоидов кислых эфузивов, кварц
ных пород, диоритов

2039	2700-2800	$44^0 05,5'$	Восточная	Гуфо (?) алевроплиты желтые, слабо рованные с единичной мелкой галькой тиодов (?) кварца (К)	
		$137^0 22,0'$	брюшка обрыва материкового склона	$v = 1562 \text{ м/с}$ $v = 1546$ $v = 1579$ $v = 1621$	
2040	2800-3100	$44^0 04,0'$	-" -	Галька мелкая и средняя хорошо окат кварцевых диоритов (?) кварцевых по роговиков, туфо (?) алевроплитов	
		$137^0 23,0'$		$v = 1534 \text{ м/с}$ $v = 1552$	

нитоидов, роговиков, кварца, известняков
и т.д. (?) алевропелитов

ПОЛИГОН 33

2041 2600-2850 43°53,0' юго-западная
брюка уступа на материко-
вом склоне (?) (C)

Туфоалевропелиты (?) желтые, слабофиши
 $V = 1499 \text{ м/с}$
 $V = 1500 \text{ м/с}$
Единичный обломок тонкоплитчатого туфа (?)

$V = 1552 \text{ м/с}$

Галька, преимущественно мелкая, хорошо о
разнообразного состава

ПОЛИГОН 33-Б

2047

Восточная брюка обрыва материкового склона

Алевролиты темно-желтые, довольно плотные
 $V = 1736 \text{ м/с}$
 $V = 1698$
 $V = 1702$
 $V = 1733$
 $V = 1661$

Алевропелиты темно-желтые, зеленоватые, с
титифицированные (C)
 $V = 1558 \text{ м/с}$
 $V = 1567$

Л. Альбачный ооломок конгломерата - гальк
зивов, цемент песчано-глинистый некреп

$$V = 3366 \text{ м/с}$$

Алєвролит глинистый, зеленый слаболити-
ванный "пятнистый" (К)

$$V = 1534 \text{ м/с}$$

Алєвролит глинистый, зеленый мелкосло-
слаболитицированный (К)

$$V = 1534 \text{ м/с}$$

Алєвролит зеленый, очень слаболитици-
(К)

$$V = 1,537 \text{ м/с}$$

Галька преимущественно круиняя и сред-
единичные вэлуны (эфлюзива) - базальти-
кварцевых пород, роговиков, кремня,
гранитоидов (?), кварцевых диоритов (?)
(гранадиритов (?))

ПОЛИГОН 33-А

Южный склон под-
водной возвышен-
ности

МОДНОМЪЕ МОГО-ЗАШДНОГО
СКЛОНА ПОДВОДНОЙ
ВОЗВЫШЕННОСТИ

ПУСТЯЯ

ПОЛІГОН 34

2050

Северо-западный склон
Булакана

Базальты темно-серые, пористые
Глинистые мелкие обломки элес вро
слабодиагенезированного (С)
Галька преимущественно мелкая,
ограненности кварца, кремнистых
кильных эфузивов, роговиков, по
тоб, туфов, диоритов (?)

2051

$42^0 25,0'$
 $136^0 20,0'$
Верхняя часть юго-
восточного склона
вулканической возвы-
шенности

Базальт темно-серый слабопорист
у = 4000 м/с
у = 3444 -"
базальт пористый (С)
у = 2956 м/с
Конгломерат (С)
у = 2535 м/с
Глинистые мелкие обломки элестог
нистого элес вролита слаболитийци
ног (С)

$v = 1552$
Глина, желтая, или слабоуплотнен-
 $v = 1518 \text{ м/с}$

$v = 1512 -"$
 $v = 1508$

Галека мелкая кислых эфузивов,
выветрелих эфузивов

2052 $42^0 26,3'$ Верхняя часть
 $136^0 20,0'$ юго-восточного
сегмента вулканической
возвышенности

базальт чёрный, тонкосернистый,
ный (С); зеленовато-серый мелко-
слабопористый (С)
Конглобреции — обломки базальт-
тированные некрепким песчано-гли-
церитом (С)

Алевролит песчанистый, некрепкий
 $v = 1614 \text{ м/с}$
Алевролит желтый, некрепкий, п.
 $v = 1613 \text{ м/с}$

2053 $42^0 27,0'$
 $136^0 17,5'$
3100-2900

единичный мелкий угловатый облако-
нийоида темно-зелёного цвета («
Галька преимущественно мелкая»)
кислых эфузивов, базальтоидов

о́быкновенное с-
ко́й возвышенности

$$\begin{aligned}V &= 4024 \text{ м/с} \\V &= 4376 \text{ м/с} \\V &= 4557 \text{ м/с}\end{aligned}$$

Базальт выветрелый, буровато-серый

$$V = 4156 \text{ м/с}$$

Базальт чёрный, пористый, порфирит

$$V = 3442 \text{ м/с}$$

Древесники (С)

$$V = 2261 \text{ м/с}$$

Единичные обломки выветрелых туфов слабодигенерированных (С)

$$V = 1660 \text{ м/с}$$

Галька гранитоидов, роговиков, кремистых пород, пемзы, кислых мёлков и в небольшом количестве

2054 $42^{\circ} 30,1'$ /36° 21,1' -" -
3100 - 2900

базальт пористый, мицеллекаменистый (К) базальт мелкопористый темно-серый (С)

$$\begin{aligned}V &= 3925 \text{ м/с} \\V &= 3946 \text{ м/с}\end{aligned}$$

Алевролит зелёный, хрупкий, сложированный (С)

$V = 1578 \text{ м/с}$

Глина слаболитицированная

$$V = 1511 \text{ м/с}$$

Галька кислых эфузивов, гранитоидов, тоидов, роговиков, обломки пемзы.

2055 $42^0.39.5^1$
 $136^0.16.5^1$
 С северо-западный
 склон вулканической возвышенности
 $3120 - 2900$

Базальт темно-серый, плотный, тонкозернистый

$$V = 4370 \text{ м/с}$$

$$V = 4444 - " -$$

Базальт серый, мелкопористый (С)

$$V = 4082 \text{ м/с}$$

Базальт серый, крупнопористый, порфирированный, представлены плагиоклазом

$$V = 4223 \text{ м/с}$$

Брекчии - угловатые обломки базальтов

тированные крепким желтым цементом (С)

Единичные обломки коричнево-зеленой и "зернистой" породы (С)

$$V = 3831 \text{ м/с}$$

Единичные мелкие обломки зеленоватистого и зеленого слаболитицированного (С)

Один острогрубоугольный обломок крепкого Т

Галька кислых эфузивов, базальтоидов, виктов (?), микрокварцитов, кремнистых гранитоидов.

ШЕИНОСТИ
ШЕИНОСТИ

Одни фрагменты тщущиеся
не крепкого (С)
Галька единичная кварцевых пород и
базальтоидов

2057 0го-восточный склон
 вулканической возы-
 шениости

2058 42° 24,2' / -" -
 136° 19,0' /
 3100-2900 м

Базальт плотный, мессивный и пористый
один обломок брекции
один мелкий угловатый обломок зеленого
грапитоида (С)
единичная щебенка кислых эфузионов (С)
Щебень ороговикованных пород (С)
Галька кремнистых пород, кислых эфузы-
нистоидов, туфов, диоритов (?), базальт

Составил М.Н.С.
Начальник рейса

Г.
И.

№/п	№ полиго- на	%	координа- ционный стационар- ной широты долготы	Глубина (интервал драгирования)	Прибор	Состав пород и их краткая характеристика	Обла- степ- тани- и пред- возд-	
2	3	4	5	6	7			
1	34 А	2051	$\frac{42^028.7}{136^013.2}$	3300-3400	Арга	Или современные мягкие, пластичные. Или слееритовые с включениями Гравелин выщерелых базальтов и пемзы. Алевриты диатомовые зеленовато-желтые Диатомиты алевролитовые послансмолосчатые Базальты пористые Гелечники хоромей окатенности		
2	" "	2062	$\frac{42^029.1}{136^012.6}$	3600-3400	Арга	Пустая		
3	" "	2063	$\frac{42^025.3}{136^012.1}$	3600-3300	Арга	Или современные светлояелтые мягкие, пластичные Или зеленовато-желтые пластичные, слегка уплотненные Алевриты диатомитовые желтовато-зеленовато- серые массивные диатомиты алевролитовые уплотненные с рыхкими базальты изломом базальты слегка пористые		
4	" "	2064	0	0	0	Шлаковые туфы базальтов с включениями железо- марганцевых конкреций Гелечники хоромей окатенности	Обла- сть (от № лаз)	N-

5	34 А	2065	$\frac{43^{\circ}33,6^{\circ}}{136^{\circ}11,7^{\circ}}$	-3600-	драга	Базальты. Выпуклая сторона сегментов бугрист - Шаровая земля. Стекловатая туты базальтов цеолитизированы, силицитизированы, выветренные. Алевролит листомитовый. Галечники хорочей окатанности.	$N-Q?$
6	"_n"	2056	$\frac{42^{\circ}35,4^{\circ}}{136^{\circ}30,3^{\circ}}$	3650-	драга	Турф глоуконитизированный фиастакового-зеленого цвета Галечники хорочей окатанности	Q
7	"_n"	2067	$\frac{42^{\circ}23,4^{\circ}}{136^{\circ}19,7^{\circ}}$	3650-	драга	Базальты тонкопористые, слегка россиянитизированы Галечники хорочей окатанности	N
8	34 Б	2068	$\frac{41^{\circ}25,2^{\circ}}{134^{\circ}56,0^{\circ}}$	2500-	апара	Базальты пористые, ноздреватые брекции агломератовые, беззольтowego состава - силицитизированы, глоуконитизированы, пропитаны гидрокислами железа и марганца "почек" со стеролитовой структурой Алевролиты диатомитовые зеленовато-желтые Галечники хорочей окатанности.	$N-Q?$
9	"_n"	2059	$\frac{41^{\circ}26,0^{\circ}}{134^{\circ}59,6^{\circ}}$	2500- -2200-	драга	Кварц-биотитовый роговик птичий текстуры базальты серые пористые железо-мартанцевые конкреции в виде корок с "ахороненными" Галечники хорочей окатанности.	N
10.	"_n"	2070	$\frac{41^{\circ}26,1^{\circ}}{134^{\circ}59,0^{\circ}}$	3400- -3100-	драга	Базальты пористо-ноздреватые Агломератовые брекции базальтов глоуконитизированы, силицитизированы, пропитанные краинивитовыми конкрециями биофрагментированный	N

Приложение 5

НИС „ПЕРВЕНЕЦ”

рейс 36

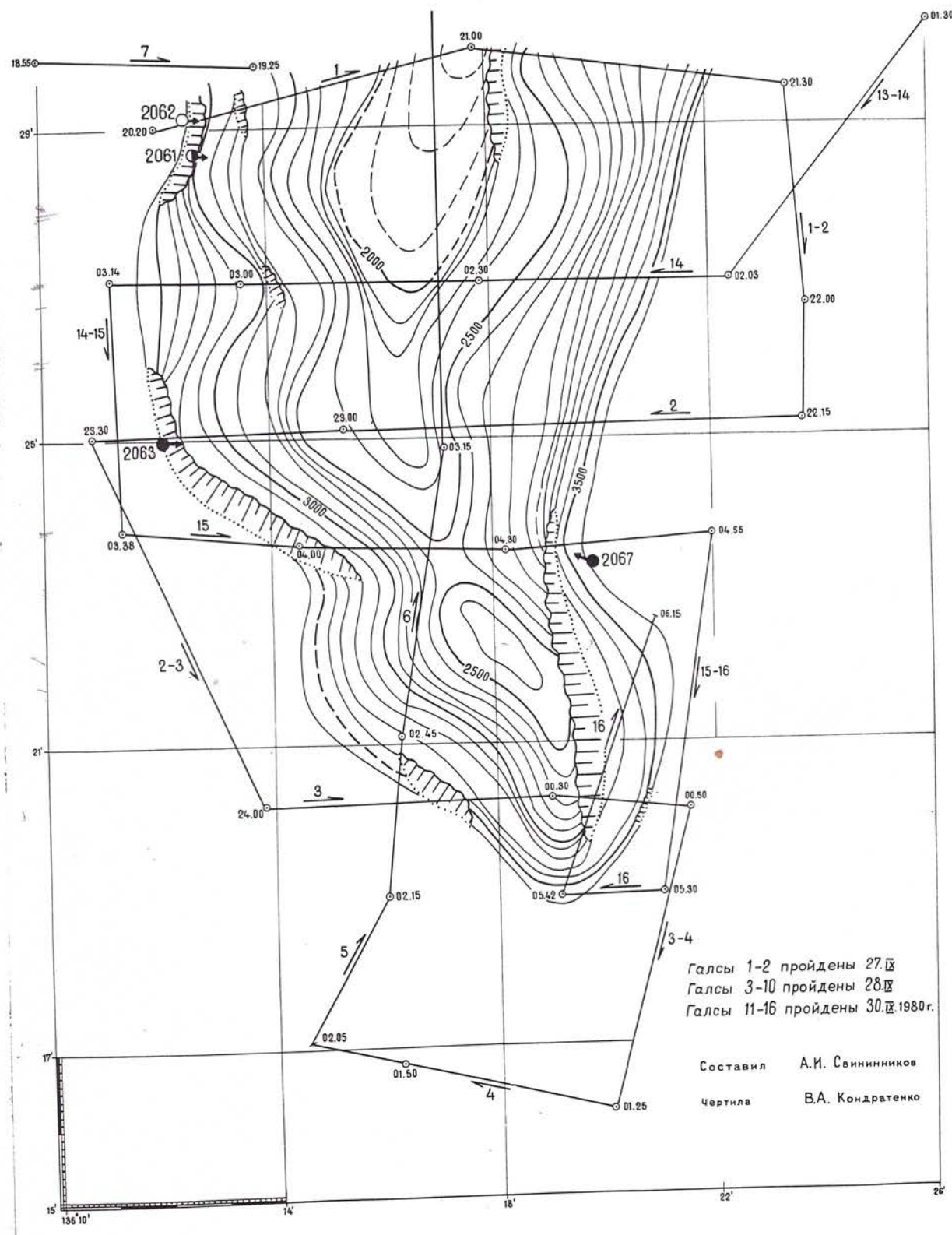
КАРТА

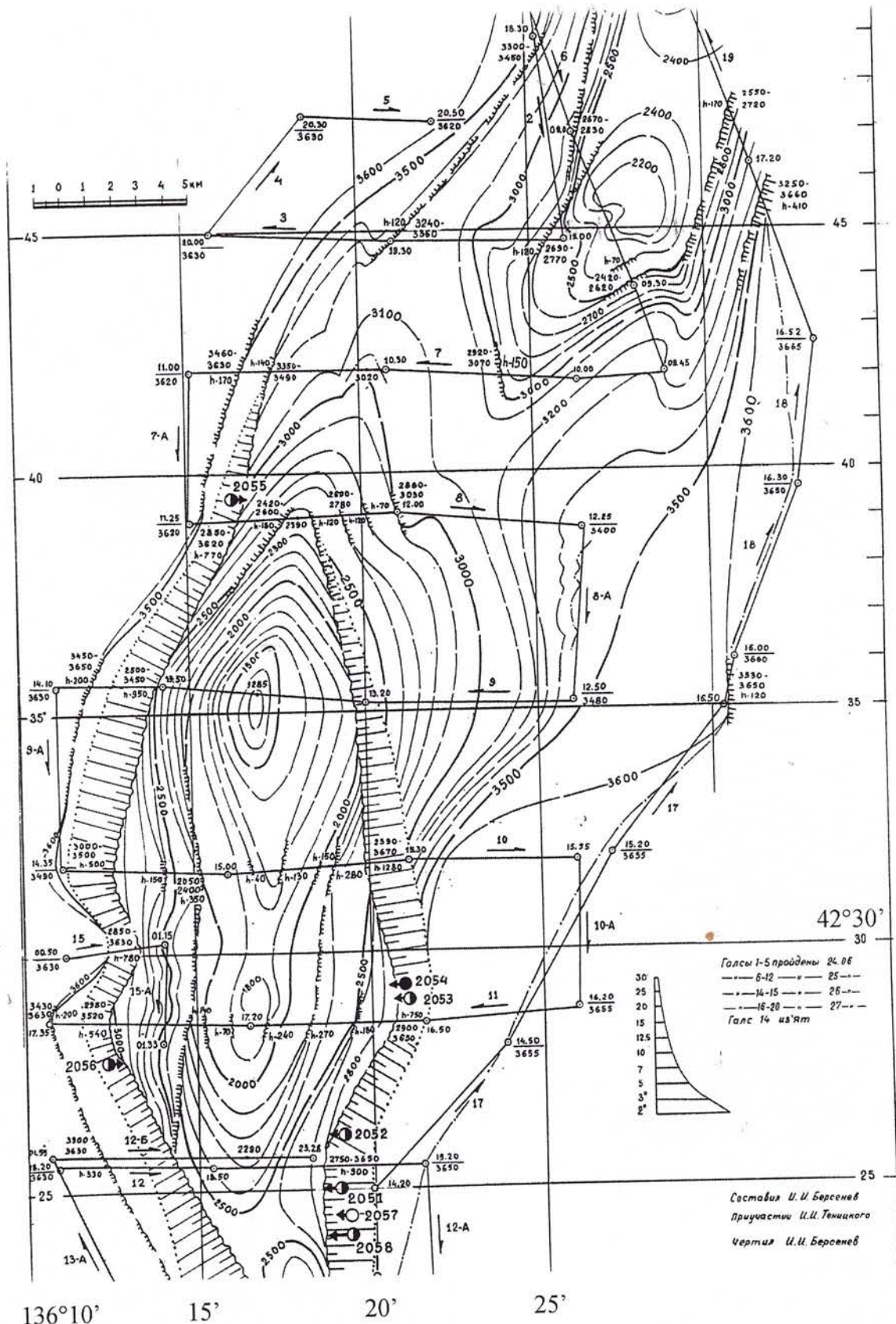
ФАКТИЧЕСКОГО МАТЕРИАЛА

ПОЛИГОН 34-А

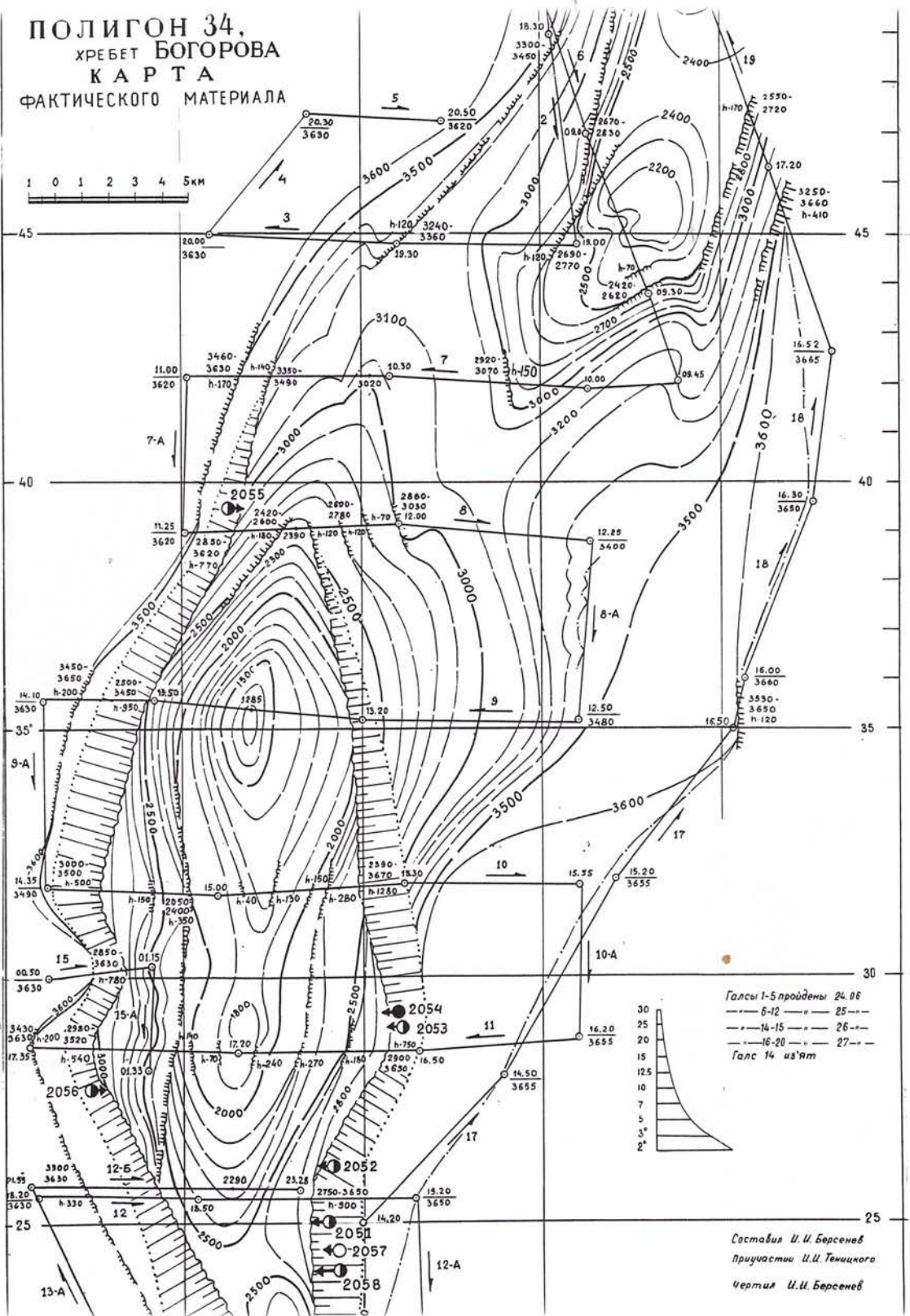
500 0 1000 2000 3000 м

1980 г.





ПОЛИГОН 34,
ХРЕБЕТ БОРОРОВА
КАРТА
ФАКТИЧЕСКОГО МАТЕРИАЛА



17°10' 15° 136°20' 25' 42

